

# Probabilidade Geométrica e a Geometria Integral no Plano Euclidiano



Universidade Federal do ABC

<b>1</b>	<b>Introdução</b>	<b>4</b>
<b>2</b>	<b>Objetivos</b>	<b>5</b>
2.1	Objetivos Gerais . . . . .	5
2.2	Objetivos Específicos . . . . .	5
<b>3</b>	<b>Métodos</b>	<b>6</b>
<b>4</b>	<b>Resultados</b>	<b>7</b>
4.1	Conjuntos de faixas no plano . . . . .	7
4.2	O grupo de movimentos no plano: densidade cinemática . . . . .	8
<b>5</b>	<b>Conclusões</b>	<b>17</b>
<b>6</b>	<b>Apêndice</b>	<b>20</b>
6.1	As formas explícitas para $L_s$ e $R_s$ . . . . .	20
6.2	As expressões para as 1 – formas em $\mathfrak{M}$ . . . . .	21
6.3	A equação 4.7 . . . . .	23
6.4	O sistema de equações 4.9 . . . . .	24
6.4.1	Primeira equação . . . . .	24
6.4.2	Segunda equação . . . . .	25
6.4.3	Terceira equação . . . . .	26
6.5	Algumas fórmulas integrais . . . . .	28

“Em 1961, ano em que se constituiu a Sociedade Internacional de Estereologia, deu-se a seguinte definição: A Estereologia é um conjunto de métodos para exploração do espaço tridimensional a partir do conhecimento de seções bidimensionais e projeções sobre planos. Ou seja, trata-se da exploração do espaço a partir do plano.” (cf. [1], p.1).

O início do desenvolvimento da estereologia e áreas da matemática associadas e ela deu-se com o desenvolvimento da probabilidade geométrica e da geometria integral. Ambas as áreas são produtos da solução do problema da agulha de Buffon. “Georges-Louis Leclerc, Conde de Buffon (1707–1788), é famoso pela seguinte “experiência”: Suponhamos que estamos numa sala cujo chão é constituído por tábuas paralelas. Designemos a distância entre as tábuas por  $a$ . Tomemos uma agulha, ou um objeto semelhante, de comprimento  $2.r$  menor do que  $a$ . Esta condição assegura que, se deixarmos cair a agulha no chão, ela atravessará quando muito uma linha que divide tábuas diferentes. A probabilidade de que esse acontecimento ocorra (isto é, que a agulha, ao cair no chão, não fique totalmente contida no interior de uma única tábua) é então  $P = \frac{4.r}{\pi.a}$ . Esta fórmula contém a constante  $\pi$  – proporcionando-nos, portanto, a possibilidade de calcular esta constante por via “experimental”. [...]” (cf. [2], p.124-125).

Para podermos estudar as bases da teoria estereológica dividimos o projeto em três partes de estudo: os conjuntos de faixas no plano, o grupo de movimentos no plano e a densidade cinemática desses movimentos.

**Palavras Chaves:** densidade, conjuntos convexos, estereologia, geometria integral

“A Estereologia é geralmente considerada como a metodologia destinada à estimação de parâmetros geométricos de estruturas espaciais, a partir da informação proporcionada mediante uma amostra geométrica adequada. Trata-se, portanto, de uma ciência que combina resultados teóricos de Geometria Integral, Probabilidade Geométrica e Estatística. Os resultados obtidos em Estereologia, até aqueles mais teóricos, inspiram-se em problemas levantados em outras ciências, problemas como a estimação da proporção da quantidade de material em uma rocha, o número de neurônios em uma região cerebral ou o comprimento dos dendritos neurais. Uma vez formulado o problema na linguagem matemática adequada, trata-se de uma submersão do problema na Geometria Integral para obter-se a fórmula apropriada que nos leve ao parâmetro de interesse”(cf. [1], p.2).

Probabilidade, geometria, medida e grupos formam as bases da Geometria Integral, cujos primeiros resultados foram obtidos aos anos de 1935-1939 por W. Blaschke e seu grupo de estudos na Universidade de Hamburgo. Outra área de grande importância para a matemática é a probabilidade geométrica, seu desenvolvimento histórico pode ser visto da seguinte maneira: “[...] o problema da agulha de Buffon tem uma extraordinária importância histórica: foi o primeiro problema de um novo território, a Teoria da Probabilidade Geométrica, e nesse sentido rasgou horizontes para novas ideias matemáticas, que ainda hoje frutificam.”(cf. [2], p.131).

Um dos grandes dilemas histórico sobre a Teoria da Probabilidade Geométrica consiste no paradigma: “*Terá Buffon realmente lançado agulhas?*”. “Em notável contraste com o registro histórico, existe na comunidade matemática uma impressão generalizada de que Buffon teria não apenas considerado a possibilidade de determinar uma aproximação ao valor de  $\pi$  por meio de uma “experiência” como, de fato, a teria mesmo chegado a realizar. [...] Muitos outros livros de História da Probabilidade são omissos sobre a ligação de Buffon à aproximação experimental de  $\pi$ , deixando a questão totalmente em aberto.”(cf. [2], p.129).

Atualmente, resolver este e outros problema utilizando ferramentas da Geometria Integral, por exemplo, é o cerne de uma pesquisa básica e é sobre isso este relatório.

## 2.1 Objetivos Gerais

- Desenvolver uma rotina de estudo individual.
- Aprimorar o raciocínio lógico-matemático.
- Aprender a isolar um problema em sua essência matemática para então poder associar problemas vindos de diferentes áreas e encontrar soluções mais simples e mais gerais para os mesmos.
- Familiarizar-se com a pesquisa em Matemática, aprender a questionar e buscar soluções novas e/ou já existentes de problemas.
- Estimular o rigor matemático como uma forma natural de formular e pensar sobre problemas matemáticos.

## 2.2 Objetivos Específicos

- Aprender importantes conceitos e propriedades da área da matemática chamada Geometria Integral.
- Aplicar resultados obtidos nesta área a outras áreas da Matemática. Este projeto utilizou fortemente conceitos das áreas de formas diferenciais e geometria plana.
- Aprender importantes resultados da matemática, como o Teorema da agulha de Buffon, fórmulas integrais para densidade cinemática.

A metodologia de trabalho nesta IC deu-se por meio de apresentações semanais de alguns capítulos do livro [3], considerado uma grande referência da área.

Além disso, foram resolvidos diversos exercícios a respeito dos temas estudados.

## 4.1 Conjuntos de faixas no plano

No que segue desta seção, vamos fazer algumas definições e provar algumas proposições que serão necessárias para a resolução do problema da agulha de Buffon, que será exibida na conclusão deste relatório.

**Definição 4.1** *Uma faixa  $B$  de largura  $a$  no plano consiste em uma parte fechada do plano entre duas retas paralelas cuja distância entre uma e outra é  $a$ .*

**Definição 4.2** *A posição de uma faixa  $B$  será determinada pela posição da reta que equidista das retas paralelas da fronteira da faixa.*

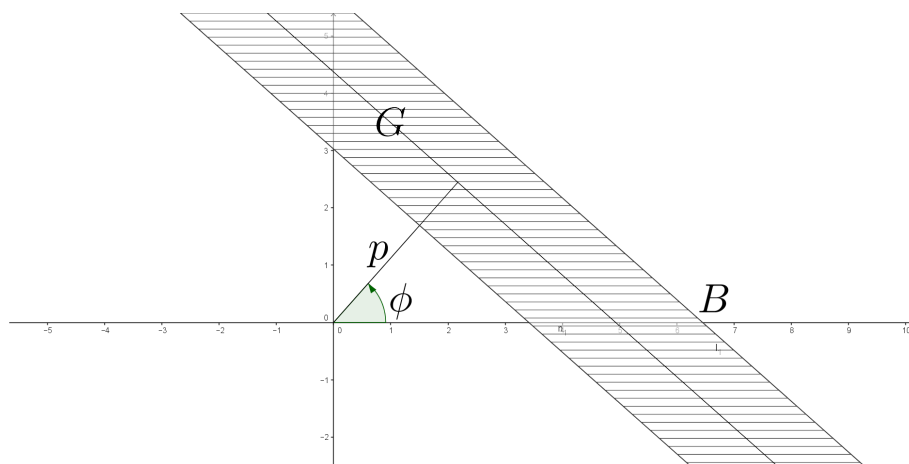


Figura 4.1: Posição de uma Faixa

**Definição 4.3** *A densidade de um conjunto de faixas  $B(p, \phi)$  no plano é:*

$$dB = dp \wedge d\phi,$$

onde  $p$  e  $\phi$  denotam as coordenadas da reta central  $G$  da faixa  $B$ .

## 4 Resultados

**Proposição 4.4** *A medida de um conjunto de faixas  $B$  no plano sobre um conjunto convexo fechado  $K$  que intercepa  $B$  é*

$$m(B; B \cap K \neq \emptyset) = \int_{B \cap K \neq \emptyset} dB = L + \pi.a,$$

onde  $L$  é o perímetro de  $K$  e  $a$  a largura de  $B$ .

**Demonstração:** Denotamos por  $G$  a reta central de  $B$ , assim:

$$\int_{B \cap K \neq \emptyset} dB = \int_{G \cap K_{a/2} \neq \emptyset} dp \wedge d\phi = L + 2.\pi.\frac{a}{2} = L + \pi.a$$

□

**Proposição 4.5** *Tome  $K_1$  um conjunto convexo contido em um outro conjunto convexo  $K$  fechado. A probabilidade que uma faixa  $B$  de largura  $a$  intersecte  $K_1$ , dado que ela intersecta  $K$ , é de:*

$$p = \frac{L_1 + \pi.a}{L + \pi.a}$$

**Demonstração:** Por definição de probabilidade:

$$p = \frac{m(B; K_1 \cap B \neq \emptyset)}{m(B; K \cap B \neq \emptyset)} = \frac{L_1 + \pi.a}{L + \pi.a}$$

□

## 4.2 O grupo de movimentos no plano: densidade cinemática

Para esta seção vamos fazer algumas definições e provar algumas proposições que serão necessárias para a resolução de um problema que será proposto na conclusão deste relatório.

**Definição 4.6** *Assuma o plano euclidiano referenciado por um sistema retangular de coordenadas cartesianas. Definimos um movimento como a transformação:*

$$u : P(x, y) \rightarrow P'(x', y')$$



## 4 Resultados

Que será representado pelas equações:

$$u \begin{cases} x' = x.\cos(\phi) - y.\sin(\phi) + a \\ y' = x.\sin(\phi) + y.\cos(\phi) + b \end{cases}$$

onde  $a, b, \phi$  são parâmetros, de modo que  $-\infty < a, b < \infty$  e  $0 \leq \phi \leq 2\pi$ .

**Definição 4.7** Dizemos que  $K$  e  $K'$  são congruentes, se  $K'$  é a imagem  $K$  sobre um movimento  $u$ , ou seja,  $K' = u \cdot K$

**Lema 4.8** Podemos induzir uma interpretação geométrica para os parâmetros  $a, b, \phi$ . Suponha  $(O; x, y)$  um sistema de coordenadas cartesianas com origem  $O$  e eixos  $x$  e  $y$ . Dado um movimento  $u$ , se o sistema de coordenadas  $C$  for mapeado em um sistema  $(O'; x', y')$ , então os parâmetros  $a$  e  $b$  representam a translação em  $x$  e  $y$ , respectivamente, da origem  $O$  para  $O'$  e o parâmetro  $\phi$  representa uma rotação anti-horária do eixo  $x'$  em relação ao eixo  $x$ .

**Demonstração:** Suponha que tenhamos transladado por  $(a, b)$  e rotacionado por  $\phi$  o sistema  $(O'; x', y')$  com relação ao sistema  $(O; x, y)$ . Seja um ponto  $P$  de coordenadas  $(A, B)$  no sistema de coordenadas  $(O'; x', y')$ .

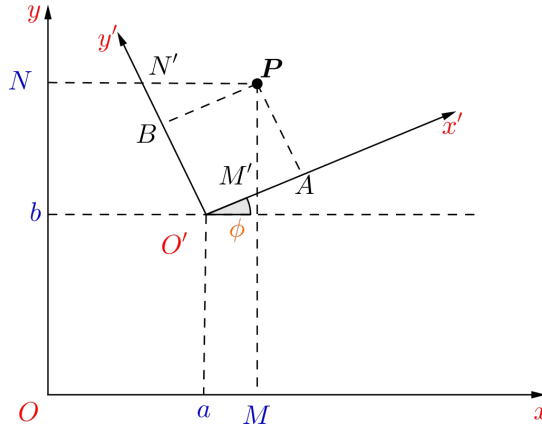


Figura 4.2: Sistema de Coordenadas Transladado

Queremos obter as coordenadas desse ponto no sistema original  $(O; x, y)$  e assim mostrar que as equações da Definição 4.6 valem. Assim, temos que:

$$\overline{O'M'}.\cos(\phi) + a = M$$

## 4 Resultados

$$\left(\overline{O'A} - \overline{M'A}\right).cos(\phi) + a = M$$

$$A.cos(\phi) - B.tan(\phi).cos(\phi) + a = M$$

$$M = A.cos(\phi) - B.sin(\phi) + a$$

Além disso, temos também:

$$\overline{O'N'}.cos(\phi) + b = N$$

$$\left(\overline{O'B} - \overline{BN'}\right).cos(\phi) + b = N$$

$$B.cos(\phi) + A.tan(\phi).cos(\phi) + b = N$$

$$N = B.cos(\phi) + A.sin(\phi) + b$$

Portanto, obtemos o seguinte sistema de equações para as coordenadas do ponto  $P$ :

$$\begin{cases} M = A.cos(\phi) - B.sin(\phi) + a \\ N = B.cos(\phi) + A.sin(\phi) + b \end{cases}$$

O que prova a interpretação geométrica para os parâmetros  $a, b, \phi$ .  $\square$

No que segue, encontraremos as 1 – formas  $\omega_1, \omega_2$  e  $\omega_3$ , que são invariantes a aplicação  $L_s^*$  induzida por  $L_s$ . Analogamente, encontraremos as 1 – formas invariantes a aplicação  $R_s^*$ .

**Observações 4.9** É usual representarmos o movimento  $u$  definido em 4.6 pela seguinte matriz:

$$u = \begin{pmatrix} cos(\phi) & -sin(\phi) & a \\ sin(\phi) & cos(\phi) & b \\ 0 & 0 & 1 \end{pmatrix}$$

Além disso, é fácil verificar que para fazermos uma composição de movimentos basta multiplicarmos as respectivas matrizes e para o movimento inverso basta invertemos a respectiva matriz.

**Definição 4.10** Defina o grupo de movimentos  $\mathfrak{N}$ , como um grupo de matrizes da forma mostrada na Observação 4.9, com o produto de matrizes como a operação do grupo.

**Definição 4.11** Seja um movimento  $s$  tal que  $s \in \mathfrak{N}$  e  $s := (a_0, b_0, \phi_0)$ . Cada movimento  $s$  define dois endomorfismos em  $\mathfrak{N}$ . A **transformação a esquerda**  $L_s : u \rightarrow s \cdot u$ , que pode

## 4 Resultados

ser escrita da seguinte maneira

$$L_s \begin{cases} a & \rightarrow a.\cos(\phi_0) - b.\sin(\phi_0) + a_0 \\ b & \rightarrow a.\sin(\phi_0) + b.\cos(\phi_0) + b_0 \\ \phi & \rightarrow \phi + \phi_0 \end{cases}$$

De maneira análoga temos a **transformação a direita**  $R_s : u \rightarrow u \cdot s$ , que pode ser escrita da seguinte maneira

$$R_s \begin{cases} a & \rightarrow a_0.\cos(\phi) - b.\sin(\phi) + a \\ b & \rightarrow a_0.\sin(\phi) + b.\cos(\phi) + b \\ \phi & \rightarrow \phi_0 + \phi \end{cases}$$

As formas explícitas para  $L_s$  e  $R_s$  apresentadas na Definição 4.11 serão demonstradas no Apêndice deste relatório.

**Definição 4.12** Defina as 1 – formas em  $\mathfrak{M}$  como qualquer expressão da seguinte tipo

$$\omega(u) = \alpha(u).da + \beta(u).db + \gamma(u).d\phi,$$

onde  $\alpha(u)$ ,  $\beta(u)$  e  $\gamma(u)$  são funções de classe  $\mathcal{C}^\infty$  definidas no espaço  $\mathfrak{M}$ .

**Observações 4.13** É fácil ver que o conjunto  $\mathfrak{U}$  de todas as 1 – formas de  $\mathfrak{M}$  em um ponto  $u$ , que juntamente com a adição e o produto por escalar definidos de maneira natural constituem um espaço vetorial de dimensão três  $(\mathfrak{U}, +, \cdot)$ . O qual chamaremos de espaço cotangente de  $\mathfrak{M}$  no ponto  $u$  e denotaremos por  $T_u^*$ . Note que as 1 – formas  $da$ ,  $db$  e  $d\phi$  constituem uma base para  $T_u^*$ .

**Observações 4.14** Note que as transformações a esquerda  $L_s$  e a direita  $R_s$  induzem em  $T_u^*$  as aplicações  $L_s^* : \omega(u) \rightarrow \omega(s \cdot u)$  e  $R_s^* : \omega(u) \rightarrow \omega(u \cdot s)$ . Assim, temos que as seguintes 1 – formas serão invariantes a  $L_s^*$  e  $R_s^*$

$$L_s^* \begin{cases} \omega_1 = \cos(\phi).da + \sin(\phi).db \\ \omega_2 = -\sin(\phi).da + \cos(\phi).db \\ \omega_3 = d\phi \end{cases} \quad R_s^* \begin{cases} \omega^1 = b.d\phi + da \\ \omega^2 = -a.d\phi + db \\ \omega^3 = d\phi \end{cases}$$

As expressões obtidas para  $\omega_1, \omega_2$  e  $\omega_3$ , assim como para  $\omega^1, \omega^2$  e  $\omega^3$ , na observação 4.14, serão demonstradas no Apêndice deste relatório.

**Definição 4.15** Sejam  $\omega_1, \omega_2, \omega_3$ , 1 – formas invariantes a esquerda, então o produto exterior

$$dK = \omega_1 \wedge \omega_2 \wedge \omega_3$$

## 4 Resultados

é uma 3 – forma invariante a esquerda.

**Observações 4.16** Note que,  $dK = \omega_1 \wedge \omega_2 \wedge \omega_3 = da \wedge db \wedge d\phi$ . Além disso, a menos de uma constante,  $dK$  é a unica 3 – forma invariante a esquerda em  $\mathfrak{M}$ .

**Observações 4.17** Analogamente, podemos definir uma 3 – forma invariante a direita, tal que,  $\omega^1 \wedge \omega^2 \wedge \omega^3 = da \wedge db \wedge d\phi = dK$ . Além disso, observa-se também que, a menos de uma constante, essa é a unica 3 – forma invariante a direita em  $\mathfrak{M}$ .

As expressões obtidas para  $dK$  nas observações 4.16 e 4.17 são obtidas através do produto exterior diretamente.

**Observações 4.18** Podemos observar que diferenciando-se a identidade  $u.u^{-1} = e$ , onde  $u \in \mathfrak{M}$  e  $e \in \mathfrak{M}$  é a matriz identidade, obtemos que  $dK(u^{-1}) = -dK(u)$ . Daí segue que a 3 – forma definida em 4.15 é invariante sobre transformações à esquerda e direita e sobre inversão de movimento. Assim, a chamamos de **densidade cinemática** para um grupo de movimentos no plano. A densidade cinemática  $dK$  é um elemento de volume invariante no espaço dos grupos de movimentos  $\mathfrak{M}$ .

**Definição 4.19** Definimos que a integral sobre  $dK$  sobre um domínio em  $\mathfrak{M}$  é a medida desse conjunto de movimento (**medida cinemática**).

**Exemplo 4.20** Considere um retângulo  $K = 0ABC$  e um domínio fixado  $K_0$ , como mostrado na figura a seguir. Podemos nos perguntar sobre a medida do conjunto de movimentos  $u$  tais que  $u.K \cap K_0 \neq \emptyset$ . Essa medida é a integral de  $dK = da \wedge db \wedge d\phi$  sobre os pontos  $0'(a,b)$  e os ângulos  $\phi$  tais que  $u.K \cap K_0 \neq \emptyset$ . Como  $dK$  é invariante a translações a direita e a esquerda e inversões de movimento, não precisamos nos preocupar com os outros casos pois todos são equivalentes. A título de exemplificação, se  $K$  reduzir-se a um ponto  $P_0(0,0)$  e colocarmos  $u.P_0 = P(a,b)$ , nós temos:

$$m(u; uP_0 \in K_0) = \int_{uP_0 \in K_0} da \wedge db \wedge d\phi = 2.\pi \int_{uP_0 \in K_0} da \wedge db = 2.\pi.F_0, \quad (4.1)$$

onde  $F_0$  é a área de  $K_0$ . A equação 4.1 é uma simples, porém útil, fórmula integral.

**Observações 4.21** Podemos obter uma outra expressão para a densidade cinemática. Tome  $(P; x', y')$  um referencial móvel definido pelo ponto  $P(a,b)$  e pelo ângulo  $\phi$  que a

## 4 Resultados

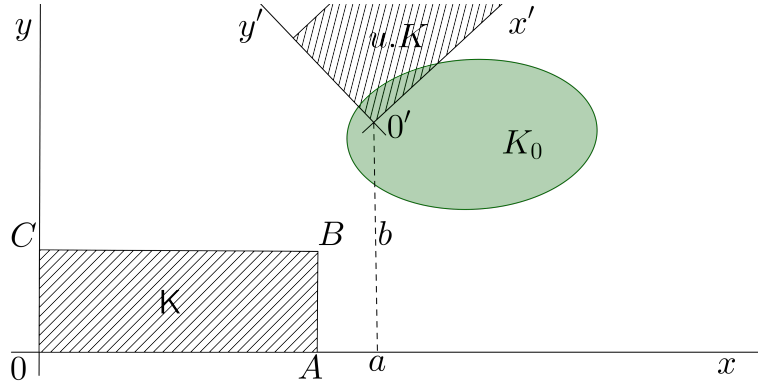
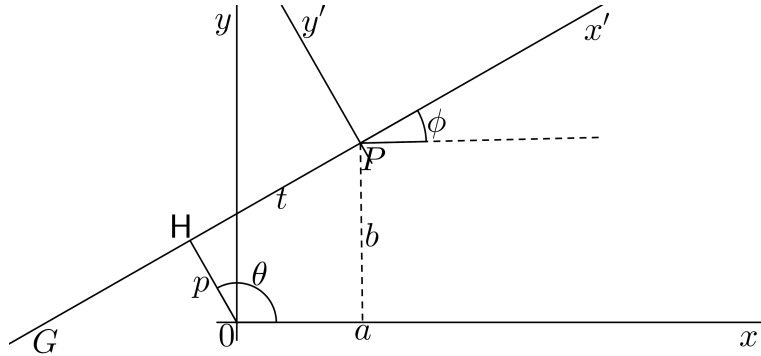


Figura 4.3: Posições do retângulo  $K$  e domínio  $K_0$

reta orientada  $\overrightarrow{Px'}$  faz com o eixo  $x$ . Se nós definimos esse referencial móvel por essas novas coordenadas vamos obter uma nova expressão para  $dK$ .

**Lema 4.22** Sejam  $(P; x', y')$  um referencial móvel,  $\overrightarrow{Px'}$  uma reta orientada que denotaremos por  $G(p, \theta)$ , onde  $p$  é a distância da reta  $\overrightarrow{Px'}$  à origem do sistema de coordenadas  $(0; x, y)$  e  $\phi$  o ângulo desta reta com o eixo  $x$ , e  $t = \overline{PH}$ , onde  $P$  é o ponto da reta  $\overrightarrow{Px'}$  com sua perpendicular que passa por  $0$ . Assim as fórmulas para a transformação  $(p, \theta, t) \rightarrow (a, b, \phi)$ , onde  $\theta$  é o ângulo do segmento  $p$  com o eixo  $x$ , são dadas por:

$$a = p \cdot \cos \theta + t \cdot \sin \theta \quad (4.2) \quad b = p \cdot \sin \theta - t \cdot \cos \theta \quad (4.3) \quad \phi = \theta - \frac{\pi}{2} \quad (4.4)$$



**Demonstração:** Obtemos as transformações 4.2 e 4.3 diretamente da transformação 4.4 e de que  $a = p \cdot \cos \theta + t \cdot \cos \phi$  e  $b = p \cdot \sin \theta + t \cdot \sin \phi$ . A transformação 4.3 é obtida diretamente à partir de observações geométricas tomadas as hipóteses.  $\square$

**Proposição 4.23** Seja a densidade cinemática dada pela Observação 4.16 ( $dK = da \wedge db \wedge d\phi$ ) temos que

$$dK = dG^* \wedge dt, \quad (4.5)$$

## 4 Resultados

onde  $G^*$  denota que a reta  $G$  deve ser considerada com orientação.

**Demonstração:** A demonstração segue diretamente do Lema 4.22, diferenciando-se as equações 4.2, 4.3 e 4.4 e calculando o produto exterior. Além disso, note que  $dG^* = dp \wedge d\theta$  e, assim, obtemos:

$$dK = da \wedge db \wedge d\phi = dp \wedge d\theta \wedge dt = dG^* \wedge dt$$

□

**Proposição 4.24** *Sejam um conjunto convexo  $K_0$  cuja área é dada por  $F_0$  e perímetro  $L_0$  e  $K$  um segmento orientado de comprimento  $l$ . A medida do conjunto de segmentos congruentes a  $K$  que interceptam  $K_0$ , ou seja, o grupo de movimentos aplicados em  $K$  de modo que  $u.K \cap K_0 \neq \emptyset$ , é dada por*

$$m(K; K \cap K_0 \neq \emptyset) = 2.\pi.F_0 + 2.l.L_0$$

**Demonstração:** Para a demonstração escolheremos a equação 4.5 obtida na Proposição 4.23 para densidade cinemática, assim temos que

$$dK = dG^* \wedge dt$$

Pela Definição 4.19 temos que a medida para esse grupo de movimentos é a integral da equação acima sobre as restrições do seu problema. Portanto,

$$m(K; K \cap K_0 \neq \emptyset) = \int_{K \cap K_0 \neq \emptyset} dK = \int_{K \cap K_0 \neq \emptyset} dG^* \wedge dt = 2 \int_{K \cap K_0 \neq \emptyset} dG \wedge dt \quad (4.6)$$

Para calcularmos explicitamente essa integral, vamos utilizar a seguinte expressão para  $dt$ :

$$dt = ds + p.d\theta, \quad (4.7)$$

onde  $ds$  representa uma variação infinitesimal de  $da$  e  $db$  na direção  $\phi$ . Seja  $\sigma$  o comprimento da corda de  $K$  que intercepta  $K_0$ . Logo, substituindo a equação 4.7 em

## 4 Resultados

4.6, temos que

$$\begin{aligned}
 m(K; K \cap K_0 \neq \emptyset) &= 2 \left( \int_{K \cap K_0 \neq \emptyset} ds dG + p d\phi dG \right) \\
 &= 2 \left[ \left( \int_{G \cap K_0 \neq \emptyset} ds dG \right) + \left( \int_{G \cap K_0 \neq \emptyset} p d\phi dG \right) \right] \\
 &= 2 \left[ \left( \int_{G \cap K_0 \neq \emptyset} \sigma dG \right) + \left( \int_{G \cap K_0 \neq \emptyset} l dG \right) \right] \\
 &= 2 \left[ \left( \int_{G \cap K_0 \neq \emptyset} \sigma dp \wedge d\theta \right) + \left( l \int_{G \cap K_0 \neq \emptyset} dG \right) \right] \\
 &= 2 \left[ \left( \int_0^\pi \int_{G \cap K_0 \neq \emptyset} \sigma dp \wedge d\theta \right) + (l.L_0) \right] \\
 &= 2[(\pi.F_0) + (l.L_0)] \\
 &= 2.\pi.F_0 + 2.l.L_0
 \end{aligned} \tag{4.8}$$

□

A equação 4.7 desta demonstração será demonstrada detalhadamente no Apêndice deste relatório.

**Exemplo 4.25** Vamos avaliar a medida de um conjunto  $K$ , de segmentos orientados, de comprimento  $l$  que não podem interceptar dois lados não-consecutivos e interceptam exatamente  $i$  lados de um poligono convexo  $K_0$ . Seja  $m_0$  a medida de um conjunto de segmentos  $K$  que não interceptam nenhum dos lados de  $K_0$ . Seja  $m_1$  a medida de um conjunto de segmentos  $K$  que interceptam exatamente 1 dos lados de  $K_0$ . Seja  $m_2$  a medida de um conjunto de segmentos  $K$  que interceptam exatamente 2 dos lados de  $K_0$ . Temos que  $m_0, m_1$  e  $m_2$  caracterizam todas as possibilidades de posições dos segmentos de  $K$ . Pois, suponha, por absurdo, que consideremos a medida  $m_3$ , de modo que fosse a medida de um conjunto  $K$  que interceptam exatamente 3 dos lados de  $K_0$ . Mas, por hipótese, os segmentos não podem interceptar dois lados não-consecutivos, o que excluiu caso em que ocorre  $m_3$ . Podemos generalizar o raciocínio para  $m_n$  e, pela hipótese obteremos que é necessário e suficiente  $n \leq 2$ ,  $n \in \mathbb{N}$ , para caracterizar todas as possibilidades de posições dos segmentos de  $K$ . Assim, temos que:

$$\begin{cases} m_0 + m_1 + m_2 &= 2.\pi.F_0 + 2.l.L_0 \\ m_1 + 2.m_2 &= 4.l.L_0 \\ m_2 &= \frac{l^2}{2} \sum_{A_i} ((\pi - A_i).cotg A_i - 1) \end{cases} \tag{4.9}$$

#### 4 Resultados

onde  $A_i$ 's representam cada um dos ângulos entre os lados de  $K_0$ . Resolvendo o sistema 4.6 temos que

$$\begin{cases} m_0 = 2.\pi.F_0 - 2.l.L_0 + \frac{l^2}{2} \sum_{A_i} ((\pi - A_i).cotg A_i - 1) \\ m_1 = 4.l.L_0 - l^2 \sum_{A_i} ((\pi - A_i).cotg A_i - 1) \\ m_2 = \frac{l^2}{2} \sum_{A_i} ((\pi - A_i).cotg A_i - 1) \end{cases} \quad (4.10)$$

As equações utilizadas no sistema 4.9 serão demonstradas no Apêndice deste relatório.

Algumas fórmulas integrais são obtidas analisando como conjuntos convexos se interceptam, o desenvolvimento dessas fórmulas não são necessárias para a resolução do problema que será proposto na Conclusão deste relatório, entretando são de grande importância para outros problemas, portanto serão apresentadas no Apêndice deste relatório.



Nesta seção destacamos um problema importante da Geometria Integral que fez parte do nosso estudo.

**Exemplo 5.1** (Problema da Agulha de Buffon) Considere sobre um plano  $\Pi$  um conjunto  $\mathcal{C}$  de retas paralelas que distam  $D$  uma da outra. Qual é a probabilidade de que uma agulha de tamanho  $l < D$ , jogada aleatoriamente sobre  $\Pi$  intersepte uma das retas de  $\mathcal{C}$ ?

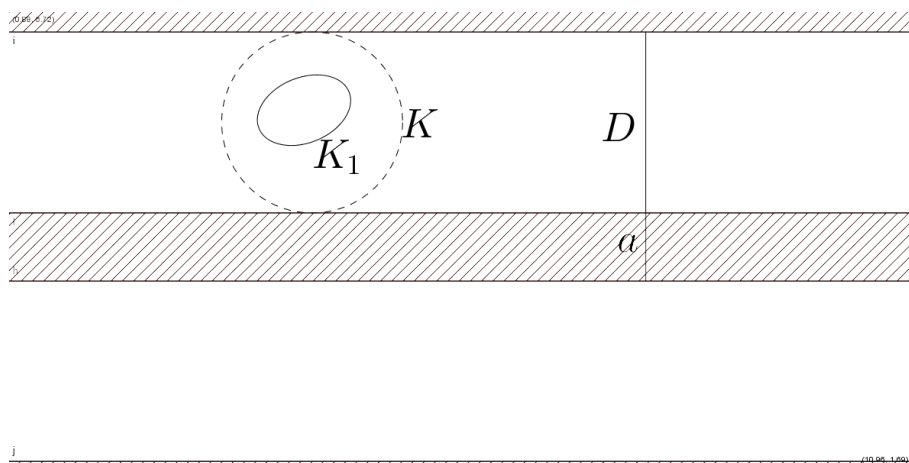


Figura 5.1: Problema Agulha de Buffon

**Demonstração:** Tome aleatoriamente um conjunto convexo  $K$  de largura constante igual a  $D$  e um conjunto convexo  $K_1$  contido em  $K$  sobre um plano no qual são consideradas faixas  $B$  de largura  $a$ , distantes  $D$  uma da outra. Assim  $K$  encontrará uma única faixa  $B$  e a probabilidade de que  $K_1$  encontre uma destas faixas é

$$p = \frac{L_1 + \pi \cdot a}{L + \pi \cdot a},$$

onde  $L$  e  $L_1$  denotam os comprimentos de  $K$  e  $K_1$ , respectivamente. Como  $L = \pi \cdot D$  então

$$p = \frac{L_1 + \pi \cdot a}{\pi(D + a)}.$$

## 5 Conclusões

O problema da agulha de Buffon pode ser então resolvido tomando-se  $a = 0$  (as faixas reduzem-se a retas) e  $K_1$  como um segmento de reta de comprimento  $L_1 = 2.s$ . Consequentemente

$$p = \frac{2.s}{\pi.D}$$

□

**Exemplo 5.2** (Probabilidade de detectar um domínio convexo por uma procura linear) Seja  $K_0$  um domínio convexo dentro do qual está outro domínio convexo  $K$ . O processo de fazer um corte aleatório em  $K_0$  encontrar  $K$  é chamado de **procura linear**. Para o problema em questão suponha  $K$  um retângulo de lados  $a, b$  ( $a > s, b > s$ ), onde  $s$  é o comprimento das retas em  $K_0$ . Qual a probabilidade dessa reta em  $K_0$  intersectar o retângulo  $K$ .

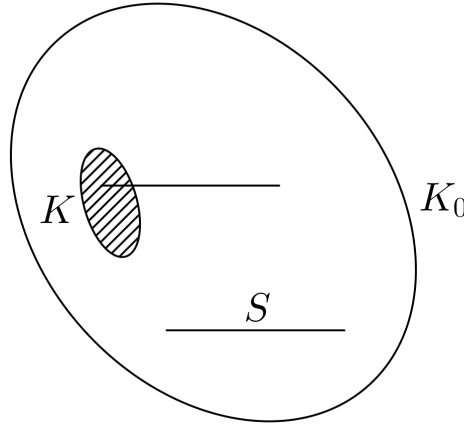


Figura 5.2: Problema da Procura Linear

**Demonstração:** Suponha que todas as retas que estão em  $K_0$  formem um conjunto  $S$ . Por definição de probabilidade temos que

$$p = \frac{m(S; S \cap K \neq \emptyset)}{m(s \subset K_0)} \quad (5.1)$$

Segue da equação 4.8 da Proposição 4.24 que

$$m(S; S \cap K \neq \emptyset) = 2.\pi.F + 2.s.L, \quad (5.2)$$

onde  $F$  denota a área de  $K$ ,  $s$  o comprimento das retas de  $S$  e  $L$  o perímetro de  $K$ .

## 5 Conclusões

Note que,  $m(s \subset K_0) = m_0$ , onde  $m_0$  está bem definido no Exemplo 4.25, logo

$$\begin{aligned}
 m(s \subset K_0) &= m_0 \\
 &= 2.\pi.F_0 - 2.l.L_0 + \frac{l^2}{2} \sum_{A_i} ((\pi - A_i).cotg A_i - 1) \\
 &= 2.\pi.a.b - 2.l.(2.a + 2.b) + \frac{l^2}{2}.4.\left(\left(\pi - \frac{\pi}{2}\right).cotg \frac{\pi}{2} - 1\right) \\
 &= 2.\left[\pi.a.b - l.(2.a + 2.b) + l^2\left(\left(\pi - \frac{\pi}{2}\right).\frac{cos \pi/2}{sin \pi/2} - 1\right)\right] \\
 &= 2.\left[\pi.a.b - 2.l.(a + b) + l^2(-1)\right] \\
 &= 2.\left(\pi.a.b - 2.l.(a + b) - l^2\right)
 \end{aligned} \tag{5.3}$$

Agora, usando 5.3 e 5.2 em 5.1 segue que

$$p = \frac{\pi.F + s.L}{\pi.a.b - 2.l.(a + b) - l^2}$$

□

## 6.1 As formas explícitas para $L_s$ e $R_s$

De acordo com a Definição 4.11 temos que a transformação a esquerda é dada por  $L_s : u \rightarrow s \cdot u$ . Sejam as seguintes matrizes que representam  $u$ , uma transformação arbitrária, e  $s$  como na Definição 4.11

$$u = \begin{pmatrix} \cos\phi & -\sin\phi & a \\ \sin\phi & \cos\phi & b \\ 0 & 0 & 1 \end{pmatrix} \quad s = \begin{pmatrix} \cos\phi_0 & -\sin\phi_0 & a_0 \\ \sin\phi_0 & \cos\phi_0 & b_0 \\ 0 & 0 & 1 \end{pmatrix}$$

Temos então que

$$\begin{aligned} L_s : \begin{pmatrix} \cos\phi & -\sin\phi & a \\ \sin\phi & \cos\phi & b \\ 0 & 0 & 1 \end{pmatrix} &\rightarrow \begin{pmatrix} \cos\phi_0 & -\sin\phi_0 & a_0 \\ \sin\phi_0 & \cos\phi_0 & b_0 \\ 0 & 0 & 1 \end{pmatrix} \cdot \begin{pmatrix} \cos\phi & -\sin\phi & a \\ \sin\phi & \cos\phi & b \\ 0 & 0 & 1 \end{pmatrix} = \\ &= \begin{pmatrix} \cos(\phi + \phi_0) & -\sin(\phi + \phi_0) & a.\cos\phi_0 - b.\sin\phi_0 + a_0 \\ \sin(\phi + \phi_0) & \cos(\phi + \phi_0) & a.\sin\phi_0 + b.\cos\phi_0 + b_0 \\ 0 & 0 & 1 \end{pmatrix} \end{aligned}$$

Portanto, concluímos o que queríamos, ou seja, a transformação a esquerda pode ser dada explicitamente da seguinte maneira

$$L_s \begin{cases} a \rightarrow a.\cos(\phi_0) - b.\sin(\phi_0) + a_0 \\ b \rightarrow a.\sin(\phi_0) + b.\cos(\phi_0) + b_0 \\ \phi \rightarrow \phi + \phi_0 \end{cases}$$

Analogamente, temos a transformação a direita dada por  $R_s : u \rightarrow u \cdot s$ . Sejam  $s$  e  $u$  da maneira que expressamos acima, logo

$$R_s : \begin{pmatrix} \cos\phi & -\sin\phi & a \\ \sin\phi & \cos\phi & b \\ 0 & 0 & 1 \end{pmatrix} \rightarrow \begin{pmatrix} \cos\phi & -\sin\phi & a \\ \sin\phi & \cos\phi & b \\ 0 & 0 & 1 \end{pmatrix} \cdot \begin{pmatrix} \cos\phi_0 & -\sin\phi_0 & a_0 \\ \sin\phi_0 & \cos\phi_0 & b_0 \\ 0 & 0 & 1 \end{pmatrix} =$$

$$= \begin{pmatrix} \cos(\phi_0 + \phi) & -\sin(\phi_0 + \phi) & a_0 \cdot \cos\phi - b_0 \cdot \sin\phi + a \\ \sin(\phi_0 + \phi) & \cos(\phi_0 + \phi) & a_0 \cdot \sin\phi + b_0 \cdot \cos\phi + b \\ 0 & 0 & 1 \end{pmatrix}$$

Portanto, concluímos o que queríamos, ou seja, a transformação a direita pode ser dada explicitamente da seguinte maneira

$$R_s \begin{cases} a \rightarrow a_0 \cdot \cos(\phi) - b \cdot \sin(\phi) + a \\ b \rightarrow a_0 \cdot \sin(\phi) + b \cdot \cos(\phi) + b \\ \phi \rightarrow \phi_0 + \phi \end{cases}$$

## 6.2 As expressões para as 1 – formas em $\mathfrak{N}$

Para encontrar uma forma explicita para as 1 – formas invariantes a aplicação  $L_s^* : \omega(u) \rightarrow \omega(s \cdot u)$  considere a matriz  $\Omega_L := u^{-1} du$ . Vamos verificar que  $\Omega_L$  é realmente invariante a  $L_s^*$

$$L_s^* \Omega_L = (s \cdot u)^{-1} d(s \cdot u) = u^{-1} \cdot s^{-1} \cdot s \cdot du = u^{-1} du = \Omega_L$$

Assim, os elementos de  $\Omega_L$  são 1 – formas invariantes a aplicação  $L_s^*$ . Para definir explicitamente os elementos de  $\Omega_L$  considere a matriz  $u \in \mathfrak{N}$ , sua inversa e sua diferencial.

$$u = \begin{pmatrix} \cos\phi & -\sin\phi & a \\ \sin\phi & \cos\phi & b \\ 0 & 0 & 1 \end{pmatrix} \quad u^{-1} = \begin{pmatrix} \cos\phi & \sin\phi & -a \cdot \cos\phi - b \cdot \sin\phi \\ -\sin\phi & \cos\phi & a \cdot \sin\phi - b \cdot \cos\phi \\ 0 & 0 & 1 \end{pmatrix}$$

$$du = \begin{pmatrix} -\sin\phi \cdot d\phi & -\cos\phi \cdot d\phi & da \\ \cos\phi \cdot d\phi & -\sin\phi \cdot d\phi & db \\ 0 & 0 & 0 \end{pmatrix}$$

Temos então que

$$\Omega_L = u^{-1} du = \begin{pmatrix} \cos\phi & \sin\phi & -a \cdot \cos\phi - b \cdot \sin\phi \\ -\sin\phi & \cos\phi & a \cdot \sin\phi - b \cdot \cos\phi \\ 0 & 0 & 1 \end{pmatrix} \cdot \begin{pmatrix} -\sin\phi \cdot d\phi & -\cos\phi \cdot d\phi & da \\ \cos\phi \cdot d\phi & -\sin\phi \cdot d\phi & db \\ 0 & 0 & 0 \end{pmatrix} =$$

$$= \begin{pmatrix} 0 & -d\phi & \cos\phi.da + \sin\phi.db \\ d\phi & 0 & -\sin\phi.da + \cos\phi.db \\ 0 & 0 & 0 \end{pmatrix}$$

Portanto, concluímos o que queríamos, ou seja, as 1 – formas invariantes a aplicação  $L_s^*$  podem ser dadas explicitamente da seguinte maneira

$$L_s^* \begin{cases} \omega_1 = \cos(\phi).da + \sin(\phi).db \\ \omega_2 = -\sin(\phi).da + \cos(\phi).db \\ \omega_3 = d\phi \end{cases}$$

Analogamente, para encontrar as 1 – formas invariantes a aplicação  $R_s^* : \omega(u) \rightarrow \omega(u \cdot s)$  considere a matriz  $\Omega_R := duu^{-1}$ . Vamos verificar que  $\Omega_R$  é realmente invariante a  $R_s^*$

$$R_s^* \Omega_R = d(u \cdot s)(u \cdot s)^{-1} = du \cdot s \cdot s^{-1} \cdot u^{-1} = duu^{-1} = \Omega_R$$

Assim, os elementos de  $\Omega_R$  são 1 – formas invariantes a aplicação  $R_s^*$ . Para definir explicitamente os elementos de  $\Omega_R$  considere a matriz  $u \in \mathfrak{M}$ , sua inversa e sua diferencial dadas acima. Temos então que

$$\Omega_R = duu^{-1} = \begin{pmatrix} -\sin\phi.d\phi & -\cos\phi.d\phi & da \\ \cos\phi.d\phi & -\sin\phi.d\phi & db \\ 0 & 0 & 0 \end{pmatrix} \cdot \begin{pmatrix} \cos\phi & \sin\phi & -a.\cos\phi - b.\sin\phi \\ -\sin\phi & \cos\phi & a.\sin\phi - b.\cos\phi \\ 0 & 0 & 1 \end{pmatrix} =$$

$$= \begin{pmatrix} 0 & d\phi & b.d\phi + da \\ d\phi & 0 & -a.d\phi + db \\ 0 & 0 & 0 \end{pmatrix}$$

Portanto, concluímos o que queríamos, ou seja, as 1 – formas invariantes a aplicação  $R_s^*$  podem ser dadas explicitamente da seguinte maneira

$$R_s^* \begin{cases} \omega^1 = b.d\phi + da \\ \omega^2 = -a.d\phi + db \\ \omega^3 = d\phi \end{cases}$$

### 6.3 A equação 4.7

Considere as equações 4.2 e 4.3 do Lema 4.22. Vamos considerar o seguinte sistema

$$\begin{cases} a = p.\cos\theta + t.\sin\theta \\ b = p.\sin\theta - t.\cos\theta \end{cases} \quad (6.1)$$

Multipliquemos as equações do sistema 6.1 por  $(\sin\theta)$  e  $(-\cos\theta)$ , respectivamente. Assim, obtemos

$$\begin{cases} \sin\theta.a = p.\cos\theta.\sin\theta + t.\sin^2\theta \\ -\cos\theta.b = -p.\sin\theta.\cos\theta + t.\cos^2\theta \end{cases}$$


---


$$\sin\theta.a - \cos\theta.b = t \quad (6.2)$$

Diferenciando a equação 6.2 obtemos

$$dt = \sin\theta.da - \cos\theta.db + (a.\cos\theta + b.\sin\theta).d\theta \quad (6.3)$$

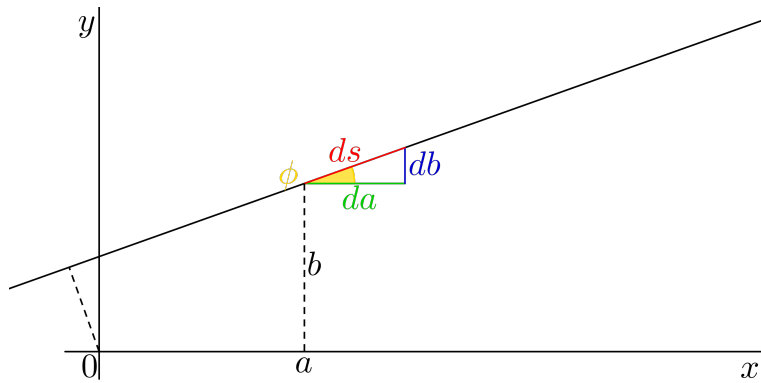
Multipliquemos, novamente, as equações do sistema 6.1 por  $(\cos\theta)$  e  $(\sin\theta)$ , respectivamente. Assim, obtemos

$$\begin{cases} \cos\theta.a = p.\cos^2\theta + t.\sin\theta.\cos\theta \\ \sin\theta.b = p.\sin^2\theta - t.\cos\theta.\sin\theta \end{cases}$$


---


$$\cos\theta.a + \sin\theta.b = p \quad (6.4)$$

Observe também que podemos considerar infinitésimos  $da$  e  $db$  na direção  $\phi$ , tendo somente como restrição que  $K \cap K_0 \neq \emptyset$  e  $K$  é determinado pela reta  $G$ . Como mostra a figura a seguir



## 6 Apêndice

Desta maneira, considerando os movimentos de  $K$ . Temos:

$$\begin{cases} da = \cos\phi.ds \\ db = \sin\phi.ds \end{cases}$$

Utilizando a equação 4.4 do Lema 4.22. Temos que

$$\begin{cases} da = \sin\theta.ds \\ db = -\cos\theta.ds \end{cases} \quad (6.5)$$

Multiplicamos as equações do sistema 6.5 por  $(\sin\theta)$  e  $(-\cos\theta)$ , respectivamente. Assim, obtemos

$$\begin{aligned} &\begin{cases} \sin\theta.da = \sin^2\theta.ds \\ -\cos\theta.db = \cos^2\theta.ds \end{cases} \\ &\hline &\sin\theta.da - \cos\theta.db = ds \end{aligned} \quad (6.6)$$

Finalmente, substituindo as equações 6.4 e 6.6 na equação 6.3 obtemos o que queríamos, ou seja, a seguinte equação para  $dt$

$$dt = ds + p.d\theta,$$

## 6.4 O sistema de equações 4.9

As equações do sistema 4.9 serão detalhadas nas próximas seções uma a uma.

### 6.4.1 Primeira equação

$$m_0 + m_1 + m_2 = 2.\pi.F_0 + 2.l.L_0$$

Para entender essa equação vamos considerar a medida para um conjunto de segmentos orientados que interceptam um conjunto convexo. Essa medida foi obtida na proposição 4.24 e é dada por

$$m(K; K \cap K_0 \neq \emptyset) = 2.\pi.F_0 + 2.l.L_0$$

Para essa medida são considerados os segmentos que estão no interior do conjunto convexo  $m_0$ , os segmentos que interceptam o bordo 1 vez  $m_1$  e os que interceptam 2 vezes o bordo  $m_2$ . Não existem segmentos que interceptem o bordo do convexo 3



vezes justamente pois ele é um convexo. Assim concluímos que

$$m_0 + m_1 + m_2 = m(K; K \cap K_0 \neq \emptyset) = 2.\pi.F_0 + 2.l.L_0$$

Portanto, a primeira equação do sistema 4.9 segue como queríamos.

### 6.4.2 Segunda equação

$$m_1 + 2.m_2 = 4.l.L_0$$

Para essa equação vamos enunciar o seguinte exemplo

**Exemplo 6.1** Vamos avaliar a medida de um conjunto de segmentos orientados  $K$ , de comprimento  $l$ , que interceptam os lados de uma curva poligonal  $\Gamma$ , de comprimento  $L_0$  e sem auto-intersecções. Pela Definição 4.19 temos que a medida para esse grupo de movimentos é a integral da densidade cinemática sobre as restrições do seu problema. Portanto

$$m(K; K \cap \Gamma \neq \emptyset) = \int_{K \cap \Gamma \neq \emptyset} dK$$

Suponha agora que a poligonal  $\Gamma$  seja composta de  $n$  lados, pela equação 4.8 da Proposição 4.24, considerando que temos duas orientações para a curva  $\Gamma$  e a área  $F_0$  de  $\Gamma$  é nula, temos que

$$\int_{K \cap \Gamma \neq \emptyset} dK = \int_{K \cap \Gamma_i} ndK = 2.(2.\pi.F_0 + 2.l.L_0) = 4.l.L_0$$

Ou seja,

$$m(K; K \cap \Gamma \neq \emptyset) = 4.l.L_0$$

Para a medida obtida no exemplo 6.1 temos que serão considerados os segmentos que interceptam o bordo 1 vez  $m_1$  e duas vezes os segmentos que interceptam o bordo  $2.m_2$ , pois a curva  $\Gamma$  não possui interior logo  $m_0 = 0$ . Assim concluímos que

$$m_1 + 2.m_2 = m(K; K \cap \Gamma \neq \emptyset) = 4.l.L_0$$

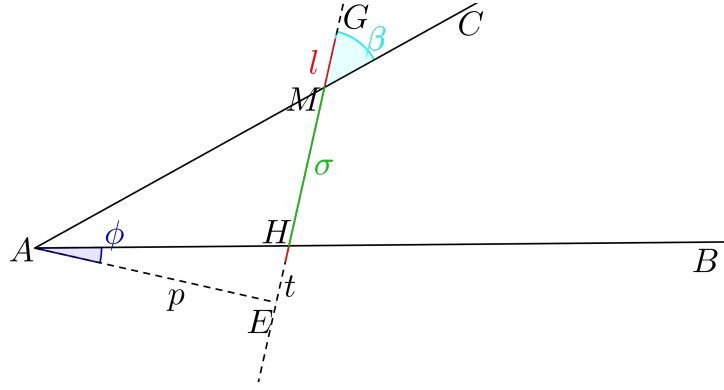
Portanto, a segunda equação do sistema 4.9 segue como queríamos.

## 6.4.3 Terceira equação

$$m_2 = \frac{l^2}{2} \sum_{A_i} ((\pi - A_i) \cdot \cot g A_i - 1)$$

Para essa equação vamos enunciar o seguinte exemplo

**Exemplo 6.2** Vamos avaliar a medida de um conjunto de segmentos orientados  $K$ , de comprimento  $l$ , que interceptem ambos os lados de um ângulo dado  $A$  (será denotado da mesma maneira o vértice  $A$  do ângulo e sua medida). Denotaremos por  $\sigma$  a corda que corte o ângulo  $A$  por uma reta  $G$  que contem  $K$ .



Pela Definição 4.19 temos que a medida para esse grupo de movimentos é a integral da densidade cinemática sobre as restrições do seu problema. Portanto

$$\begin{aligned}
 m(K; K \cap \overline{AB} \neq \emptyset, K \cap \overline{AC} \neq \emptyset) &= \int_{K \cap \overline{AB} \neq \emptyset, K \cap \overline{AC} \neq \emptyset} dK \\
 &= \int_{K \cap \overline{AB} \neq \emptyset, K \cap \overline{AC} \neq \emptyset} dG^* \wedge dt \\
 &= 2. \int_{K \cap \overline{AB} \neq \emptyset, K \cap \overline{AC} \neq \emptyset} dt dG \\
 &= 2. \int_{K \cap \overline{AB} \neq \emptyset, K \cap \overline{AC} \neq \emptyset} (l - \sigma) dG \\
 &= 2. \left( \int_{K \cap \overline{AB} \neq \emptyset, K \cap \overline{AC} \neq \emptyset} l dG - \int_{K \cap \overline{AB} \neq \emptyset, K \cap \overline{AC} \neq \emptyset} \sigma dG \right) \\
 &= 2. \left( \int_{\sigma \leq l} l dG - \int_{\sigma \leq l} \sigma dG \right) \\
 &= 2. \left( l. \int_{\sigma \leq l} dp \wedge d\phi - \int_{\sigma \leq l} \sigma dp \wedge \phi \right)
 \end{aligned}$$

## 6 Apêndice

$$\begin{aligned}
&= 2. \left( l. \int_{\sigma \leq l} |\overline{AE}| d\phi - \int_{\sigma \leq l} \sigma dp\phi \right) \\
&= 2. \left( 2. \int_A^\pi T d\phi - \int_A^\pi T d\phi \right) \\
&= \int_A^\pi 2.T d\phi \\
&= \int_0^{\pi-A} 2.T d\phi
\end{aligned} \tag{6.7}$$

onde  $T$  representa a área do triângulo  $AHM$ . Para podermos avaliar 6.7 vamos tentar construir uma função  $T(\phi)$ . Temos que  $\beta = \frac{\pi}{2} - (\phi + A)$ . Assim pela lei dos senos temos que

$$\frac{l}{\sin A} = \frac{|\overline{AH}|}{\sin \beta} = \frac{|\overline{AH}|}{\cos(\phi + A)} \tag{6.8}$$

Definamos  $h$  como a altura do triângulo  $AHM$  com relação a base  $\overline{AH}$ . Temos que

$$\sin\left(\frac{\pi}{2} - \phi\right) = \frac{h}{l} \Leftrightarrow h = l.\cos\phi \tag{6.9}$$

Multiplicando a equação 6.8 por  $h$  e, posteriormente, utilizando a equação 6.9, temos que

$$\begin{aligned}
\frac{l.h}{\sin A} &= \frac{|\overline{AH}|.h}{\cos(\phi + A)} \\
\frac{l^2.\cos\phi}{\sin A} &= \frac{2.T}{\cos(\phi + A)} \\
2.T &= \frac{l^2}{\sin A}.\cos\phi.\cos(\phi + A)
\end{aligned} \tag{6.10}$$

Assim, obtemos uma função  $T(\phi)$  conveniente, da substituição de 6.10 em 6.7 segue que

$$\begin{aligned}
\int_0^{\pi-A} 2.T d\phi &= \int_0^{\pi-A} \frac{l^2}{\sin A}.\cos\phi.\cos(\phi + A) d\phi \\
&= \frac{l^2}{\sin A} \left\{ \int_0^{\pi-A} \cos\phi.( \cos A.\cos\phi - \sin A.\sin\phi ) d\phi \right\} \\
&= \frac{l^2}{\sin A} \left\{ \int_0^{\pi-A} \cos A.\cos^2\phi d\phi - \int_0^{\pi-A} \sin A.\sin\phi.\cos\phi d\phi \right\} \\
&= \frac{l^2}{\sin A} \left\{ \cos A. \int_0^{\pi-A} \cos^2\phi d\phi - \sin A \int_0^{\pi-A} \sin\phi.\cos\phi d\phi \right\}
\end{aligned}$$

$$\begin{aligned}
&= \frac{l^2}{\sin A} \left\{ \cos A \cdot \int_0^{\pi-A} \frac{1 + \cos(2\phi)}{2} d\phi - \sin A \int_0^{\pi-A} \sin \phi \cdot \cos \phi d\phi \right\} \\
&= \frac{l^2}{\sin A} \left\{ \frac{\cos A}{2} \cdot \left[ \int_0^{\pi-A} 1 d\phi + \int_0^{\pi-A} \cos(2\phi) d\phi \right] - \sin A \int_0^{\pi-A} \sin \phi \cdot \cos \phi d\phi \right\} \\
&= \frac{l^2}{\sin A} \left\{ \frac{\cos A}{2} \cdot \left[ (\pi - A) + \frac{\sin(2\phi)}{2} \right]_0^{\pi-A} - \sin A \cdot \left( \frac{\sin^2 \phi}{2} \right)_0^{\pi-A} \right\} \\
&= \frac{l^2}{\sin A} \left\{ \frac{\cos A}{2} \cdot \left[ (\pi - A) + \frac{\sin(2(\pi - A))}{2} \right] - \sin A \cdot \frac{\sin^2(\pi - A)}{2} \right\} \\
&= \frac{l^2}{2 \cdot \sin A} [(\pi - A) \cdot \cos A - \sin A \cdot \cos^2 A - \sin A \cdot \sin^2 A] \\
&= \frac{l^2}{\sin A} ((\pi - A) \cdot \cot A - 1) \tag{6.11}
\end{aligned}$$

Segue da equação 6.7 e da equação 6.11 que

$$m(K; K \cap \overline{AB} \neq \emptyset, K \cap \overline{AC} \neq \emptyset) = \frac{l^2}{\sin A} ((\pi - A) \cdot \cot A - 1)$$

Para a medida obtida no exemplo 6.2 temos que serão considerados somente os segmentos que interceptam o bordo duas vezes, assim sendo um convexo cujo bordo é uma poligonal, para  $m_2$  teremos um somatório de cada ângulo sobre a medida obtida no exemplo 6.2. Assim concluímos que

$$m_2 = \sum_{A_i} m(K; K \cap \overline{AB} \neq \emptyset, K \cap \overline{AC} \neq \emptyset) = \frac{l^2}{2} \sum_{A_i} ((\pi - A_i) \cdot \cot A_i - 1)$$

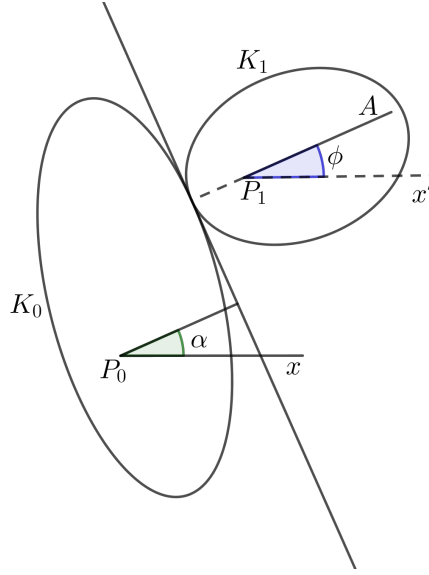
Portanto, a terceira equação do sistema 4.9 segue como queríamos.

## 6.5 Algumas fórmulas integrais

**Proposição 6.3** *Sejam  $K_1$  um conjunto convexo de área  $F_1$  e perímetro  $L_1$  e  $K_0$  um conjunto convexo de área  $F_0$  e perímetro  $L_0$ . A posição de  $K_1$  é definida pelas coordenadas de  $P_1 = (x_1, y_1)$ , tal que  $P_1 \in K_1$ , e pelo ângulo  $\phi$ , que é o ângulo da direção  $P_1A$  com a direção  $P_0x$ . Tomando a densidade cinemática de  $K_1$  tal que  $dK_1 = dx_1 \wedge dy_1 \wedge d\phi$ . Temos então que*

$$m(K_1; K_1 \cap K_0 \neq \emptyset) = 2 \cdot \pi \cdot (F_0 + F_1) + L_0 \cdot L_1 \tag{6.12}$$

**Demonstração:** Seja  $u \in \mathfrak{M}$  um movimento tal que  $u \cdot K_1 \cap K_0 \neq \emptyset$ . Queremos calcular a medida das posições de  $K_1$ , onde  $K_1$  intersepta  $K_0$ . Seja  $dK_1 = dx_1 \wedge dy_1 \wedge d\phi$



a densidade cinemática referente ao convexo  $K_1$ . Pela Definição 4.19 temos que a medida para esse grupo de movimentos é a integral da densidade cinemática sobre as restrições do seu problema. Portanto

$$m(K_1; K_1 \cap K_0 \neq \emptyset) = \int_{K_1 \cap K_0 \neq \emptyset} dK_1 = \int_{K_1 \cap K_0 \neq \emptyset} dx_1 \wedge dy_1 \wedge d\phi$$

Seja  $dP_1 = dx_1 \wedge dy_1$ , note que  $\int_{K_1 \cap K_0 \neq \emptyset} dP_1 = F_{01}$ , onde  $F_{01}$  é a área mista de Minkowski. De acordo com [3] capítulo 1 seção 3 temos que  $F_{01} = F_0 + F_1 + 2.F_{01}^*$ , onde  $F_{01}^*$  é a área mista de  $K_0$  e  $K_1$ . Portanto

$$\int_{K_1 \cap K_0 \neq \emptyset} dx_1 \wedge dy_1 \wedge d\phi = \int_{K_1 \cap K_0 \neq \emptyset} dP_1 \wedge d\phi = \int_0^{2\pi} (F_0 + F_1 + 2.F_{01}^*) d\phi$$

De acordo com [3] capítulo 1 seção 3 temos também que  $\int_0^{2\pi} F_{01}^* d\phi = \frac{1}{2} \cdot L_0 \cdot L_1$ . Portanto

$$\int_0^{2\pi} (F_0 + F_1 + 2.F_{01}^*) d\phi = 2\pi \cdot (F_0 + F_1) + L_0 \cdot L_1$$

Portanto, a medida de todas posições de um conjunto convexo  $K_1$  nas quais ele intercepta outro conjunto convexo fixado  $K_0$  é

$$m(K_1; K_1 \cap K_0 \neq \emptyset) = \int_{K_1 \cap K_0 \neq \emptyset} dK_1 = 2\pi \cdot (F_0 + F_1) + L_0 \cdot L_1$$

□

## 6 Apêndice

**Exemplo 6.4** Considere as mesmas condições da Proposição 6.3. Se  $K_1$  é um segmento de comprimento  $l$ , então  $F_1 = 0$  e  $L_1 = 2.l$ . Assim a equação 6.12 produz a equação 4.8.

**Exemplo 6.5** Tome  $K_0$  e  $K_1$  dois domínios planos, não necessariamente convexos, de áreas  $F_0$  e  $F_1$ , respectivamente. Assuma que  $K_0$  está fixo e  $K_1$  está em movimento. Tomemos  $dK_1$  a densidade cinemática de  $K_1$ . Se  $P(x, y)$  é um ponto no plano tal que  $P \in K_0 \cap K_1$  e  $dP = dx \wedge dy$  sua densidade. Vamos considerar a integral

$$I = m(P, K_1; P \in K_0 \cap K_1) = \int_{P \in K_0 \cap K_1} dP \wedge dK_1$$

Vamos calcular essa integral de duas maneiras. Primeiramente, vamos deixar  $P$  fixo, então temos

$$\begin{aligned} I &= \int_{P \in K_0 \cap K_1} dP \wedge dK_1 \\ &= \int_{P \in K_0} dP \int_{P \in K_1} dK_1 \\ &= F_0 \cdot \int_{P \in K_1} dx \wedge dy \wedge d\phi \\ &= 2.\pi.F_0 \cdot \int_{P \in K_1} dx \wedge dy \\ &= 2.\pi.F_0 \cdot \int_{P \in K_1} dP \\ &= 2.\pi.F_0.F_1 \end{aligned} \tag{6.13}$$

Podemos também fixar  $K_1$ , então teríamos

$$I = \int_{P \in K_0 \cap K_1} dP \wedge dK_1 = \int_{P \in K_0 \cap K_1} dP dK_1 = \int_{P \in K_0 \cap K_1} f_{01} dK_1, \tag{6.14}$$

onde  $f_{01}$  é a área de  $K_0 \cap K_1$ . Logo, por 6.13 e 6.14

$$\int_{P \in K_0 \cap K_1} f_{01} dK_1 = I = 2.\pi.F_0.F_1 \tag{6.15}$$

**Exemplo 6.6** Tome  $K_0$  e  $K_1$  dois domínios planos, não necessariamente convexos,

## 6 Apêndice

de áreas  $F_0$  e  $F_1$ , respectivamente, de modo que suas fronteiras são curvas de comprimento finito  $L_0$  e  $L_1$ , respectivamente. Tome  $\alpha(s_0)$  e  $\alpha(s_1)$  pontos de  $\partial K_0$  e  $\partial K_1$ , respectivamente. Vamos considerar a integral

$$J_1 = \int_{\alpha(s_0) \in K_1} ds_0 \wedge dK_1$$

Vamos calcular essa integral de duas maneiras. Primeiramente, vamos deixar  $\alpha(s_0)$  fixo, então temos

$$\begin{aligned} J_1 &= \int_{\alpha(s_0) \in K_1} ds_0 \wedge dK_1 \\ &= \int_{\partial K_0} ds_0 \int_{\alpha(s_0) \in K_1} dK_1 \\ &= L_0 \cdot \int_{\alpha(s_0) \in K_1} dx \wedge dy \wedge d\phi \\ &= 2\pi \cdot L_0 \cdot \int_{\alpha(s_0) \in K_1} dx \wedge dy \\ &= 2\pi \cdot L_0 \cdot \int_{\alpha(s_0) \in K_1} dP \\ &= 2\pi \cdot L_0 \cdot F_1 \end{aligned} \tag{6.16}$$

Podemos também fixar  $K_1$ , então teríamos

$$J_1 = \int_{\alpha(s_0) \in K_1} ds_0 \wedge dK_1 = \int_{\alpha(s_0) \in K_1} ds_0 dK_1 = \int_{\alpha(s_0) \in K_1} l_{01} dK_1, \tag{6.17}$$

onde  $l_{01}$  é o comprimento da curva  $\partial K_0 \cap K_1$ . Logo, por 6.16 e 6.17

$$\int_{\alpha(s_0) \in K_1} l_{01} dK_1 = J_1 = 2\pi \cdot L_0 \cdot F_1 \tag{6.18}$$

Vamos considerar agora a seguinte integral

$$J_2 = \int_{\alpha(s_1) \in K_0} ds_1 \wedge dK_0$$

Vamos calcular essa integral de duas maneiras. Primeiramente, vamos deixar  $\alpha(s_1)$

## 6 Apêndice

fixo, então temos

$$\begin{aligned}
 J_2 &= \int_{\alpha(s_1) \in K_0} ds_1 \wedge dK_0 \\
 &= \int_{\partial K_0} ds_1 \int_{\alpha(s_1) \in K_0} dK_0 \\
 &= L_1 \cdot \int_{\alpha(s_1) \in K_0} dx \wedge dy \wedge d\phi \\
 &= 2\pi \cdot L_1 \cdot \int_{\alpha(s_1) \in K_0} dx \wedge dy \\
 &= 2\pi \cdot L_1 \cdot \int_{\alpha(s_1) \in K_0} dP \\
 &= 2\pi \cdot L_1 \cdot F_0
 \end{aligned} \tag{6.19}$$

Podemos também fixar  $K_0$ , então teríamos

$$J_2 = \int_{\alpha(s_1) \in K_0} ds_1 \wedge dK_0 = \int_{\alpha(s_1) \in K_0} ds_1 dK_0 = \int_{\alpha(s_1) \in K_0} l_{10} dK_0, \tag{6.20}$$

onde  $l_{10}$  é o comprimento da curva  $\partial K_1 \cap K_0$ . Logo, por 6.19 e 6.20

$$\int_{\alpha(s_1) \in K_0} l_{10} dK_0 = J_2 = 2\pi \cdot L_1 \cdot F_0 \tag{6.21}$$

Mas para a equação 6.20 podemos simplesmente fazer uma mudança de índices, ou seja, para 6.20 podemos trocar  $K_0$  por  $K_1$  e o inverso, pois não há distinções entre os domínios. Portanto, 6.20 torna-se

$$\int_{\alpha(s_0) \in K_1} l_{10} dK_1 = J_2 = 2\pi \cdot L_1 \cdot F_0 \tag{6.22}$$

Finalmente, somando 6.18 e 6.22 temos que

$$\begin{aligned}
 \int_{\alpha(s_0) \in K_1} l_{10} dK_1 + \int_{\alpha(s_0) \in K_1} l_{01} dK_1 &= 2\pi \cdot L_1 \cdot F_0 + 2\pi \cdot L_0 \cdot F_1 \\
 \int_{\alpha(s_0) \in K_1} L_{01} dK_1 &= 2\pi \cdot (L_1 \cdot F_0 + L_0 \cdot F_1),
 \end{aligned} \tag{6.23}$$

onde  $L_{01}$  é a fronteira de  $K_0 \cap K_1$ .

**Exemplo 6.7** Tome  $K_0$ ,  $K_1$  e  $K_2$  três conjuntos convexos fechados no plano. Quere-



## 6 Apêndice

mos calcular a medida  $m(K_1, K_2; K_0 \cap K_1 \cap K_2 \neq \emptyset)$ . Sejam  $dK_1$  e  $dK_2$  as densidades cinemática de  $K_1$  e  $K_2$ , respectivamante. Suponha  $K_0$  fixo, pela Definição 4.19 temos que a medida é a integral da densidade cinemática sobre as restrições do seu problema, portanto

$$m(K_1, K_2; K_0 \cap K_1 \cap K_2 \neq \emptyset) = \int_{K_0 \cap K_1 \cap K_2 \neq \emptyset} dK_1 \wedge dK_2$$

mantendo  $K_1$  também fixo temos que pela equação 6.12 da Proposição 6.3

$$\begin{aligned} \int_{K_0 \cap K_1 \cap K_2 \neq \emptyset} dK_1 \wedge dK_2 &= \int_{K_0 \cap K_1 \cap K_2 \neq \emptyset} [2.\pi.(F_2 + f_{01}) + L_2.L_{01}] dK_2 \\ &= 2.\pi.F_2. \int_{K_0 \cap K_1 \cap K_2 \neq \emptyset} dK_1 + 2.\pi. \int_{K_0 \cap K_1 \cap K_2 \neq \emptyset} f_{01} dK_1 + L_2. \int_{K_0 \cap K_1 \cap K_2 \neq \emptyset} L_{01} dK_1 \end{aligned}$$

pelas equações 6.12, 6.15 e 6.23 temos que

$$\begin{aligned} &2.\pi.F_2. \int_{K_0 \cap K_1 \cap K_2 \neq \emptyset} dK_1 + 2.\pi. \int_{K_0 \cap K_1 \cap K_2 \neq \emptyset} f_{01} dK_1 + L_2. \int_{K_0 \cap K_1 \cap K_2 \neq \emptyset} L_{01} dK_1 \\ &= 2.\pi.F_2 (2.\pi(F_0 + F_1) + L_0.L_1) + 2.\pi.(2.\pi.F_0.F_1) + L_2 (2.\pi.(F_1.L_0 + L_1.F_0)) \\ &= (2.\pi)^2.(F_0.F_2 + F_0.F_1 + F_1.F - 2) + 2.\pi.(F_0.L_1.L_2 + F_1.L_0.L_2 + F_2.L_0.L_1) \end{aligned}$$

**Exemplo 6.8** (Valores médios e cobertura) seja  $K_0$  um conjunto convexo de área  $F_0$  e perímetro  $L_0$ . Sejam  $K_1, K_2, \dots, K_n$   $n$  conjuntos convexos de área  $F$  e perímetro  $L$ . Suponha que  $K_i \cap K_0 \neq \emptyset$ . Seja  $f_r$  a área de  $K_0$  que tem cobertura por exatamente  $r$  conjuntos  $K_i$ . Vamos considerar a integral sobre todos os pontos  $P \in K_0$  que são cobertos exatamente por  $r$  conjuntos  $K_i$ .

$$I_r = \int dK_1 \wedge \dots \wedge dK_n \wedge dP$$

Vamos calcular essa integral de duas maneiras. Primeiramente, vamos manter  $P$  fixo, então temos

$$\begin{aligned} I_r &= \int dK_1 \wedge \dots \wedge dK_n \wedge dP \\ &= \int [2.\pi.(F_0 + F) + L.L_0] dK_2 \wedge \dots \wedge dK_n \wedge dP \end{aligned}$$

## 6 Apêndice

$$\begin{aligned}
&= \int [(2.\pi.F) + (2.\pi.F_0 + L.L_0)] dK_2 \wedge \cdots \wedge dK_n \wedge dP \\
&= \int [(2.\pi.F) + (2.\pi.F_0 + L.L_0)] \cdot [(2.\pi.F) + (2.\pi.F_0 + L.L_0)] dK_3 \wedge \cdots \wedge dK_n \wedge dP \\
&= \int [(2.\pi.F) + (2.\pi.F_0 + L.L_0)]^n dP \\
&= \int \binom{n}{r} (2.\pi.F)^r \cdot (2.\pi.F_0 + L.L_0)^{n-r} dP \\
&= \binom{n}{r} (2.\pi.F)^r \cdot (2.\pi.F_0 + L.L_0)^{n-r} \int dP \\
&= \binom{n}{r} (2.\pi.F)^r \cdot (2.\pi.F_0 + L.L_0)^{n-r} \cdot F_0 \tag{6.24}
\end{aligned}$$

Por outro lado, se deixarmos  $K_1, K_2, \dots, K_n$  fixados, temos que

$$I_r = \int dK_1 \wedge \cdots \wedge dK_n \wedge dP = \int dP dK_1 \dots dK_n = \int f_r dK_1 \dots dK_n \tag{6.25}$$

Portanto, de 6.24 e 6.25, segue que

$$\int f_r dK_1 \dots dK_n = I_r = \binom{n}{r} (2.\pi.F)^r \cdot (2.\pi.F_0 + L.L_0)^{n-r} \cdot F_0$$

Se quisermos calcular o valor esperado para  $f_r$ , temos que

$$\begin{aligned}
E(f_r) &= \frac{m(K_1, \dots, K_n; \bigcap_{i=1}^n K_i \cap K_0 \neq \emptyset)}{m(K_1; K_1 \cap K_0 \neq \emptyset) \dots m(K_n; K_n \cap K_0 \neq \emptyset)} \\
&= \frac{\binom{n}{r} (2.\pi.F)^r \cdot (2.\pi.F_0 + L.L_0)^{n-r} \cdot F_0}{[2.\pi.(F + F_0) + L.L_0]^n}
\end{aligned}$$

## REFERÊNCIAS BIBLIOGRÁFICAS

- [1] ARNAU, José J. G., *La Estereología como puente entre las matemáticas y otras ciencias*, Sociedad, Ciencia, Tecnología y matemáticas (2006).
- [2] BEHRENDTS, Ehrhard, BUESCU, Jorge, *Terá Buffon realmente lançado agulhas?*, Boletim da SPM 71, Dezembro 2014, p. 123-132.
- [3] SANTALÓ, Luis A., *Integral Geometry and Geometric Probability*, Cambridge University Press, 2004.